

مدل‌سازی سه‌بعدی مقاومت ویژه الکتریکی و قطبش القایی به روش اجزای محدود در آرایش الکترودی مستطیلی

زهره فلسفین^۱، احمد قربانی^{۲*} و فاطمه رضوی راد^۱

^۱سکارشناص ارشد مهندسی معدن و متالورژی، دانشگاه یزد، ایران

^۲استادیار، دانشکده مهندسی معدن و متالورژی، دانشگاه یزد، ایران

(تاریخ دریافت: ۱۳۹۰/۳/۵، تاریخ پذیرش: ۱۳۹۰/۷/۶، دسترسی برخط: ۱۳۹۰/۱۲/۲۵)

چکیده

آرایش مستطیلی یکی از آرایش‌های الکترودی است که کاربرد زیادی در تحقیقات ژئوالکتریک و قطبش القایی دارد. هدف از این آرایش محدود کردن مناطق وسیع به‌خصوص در اکتشاف کانسارهای سولفیدی است. برخلاف کاربرد وسیع آن کمتر به مدل‌سازی و اعتبارسنجی نتایج حاصل از آن پرداخته شده است.

یک مدل سه‌بعدی مقاومت ویژه الکتریکی و قطبش القایی برای برداشت‌های ژئوالکتریک با آرایش مستطیل و با استفاده از روش اجزای محدود در نرم‌افزار کمسول اسکریپت (COMSOL Script) توسعه داده و به زبان مطلب (MATLAB) برنامه‌نویسی شد. مدل‌سازی قطبش القایی در حوزه بسامد مستقیماً با حل عددی معادلات ماکسول صورت پذیرفت. از مدل کل-کل (Cole-Cole) برای تعیین رابطه مقاومت ویژه الکتریکی و ثابت دی‌الکتریکی نسبی با بسامد استفاده شد. نتایج نشان می‌دهد تفسیر کیفی که با استفاده از نقشه مقاومت ویژه الکتریکی ظاهری و درصد اثر بسامد به دست آمده، زمانی صحیح است که بی‌هنجری زیرسطحی ابعاد بزرگ، عمق کم و رسانایی زیادی داشته باشد. تعیین ضخامت توده رساناً در جهت قائم و تشخیص جهت قرارگیری توده رساناً با نقشه‌های مقاومت ویژه ظاهری و قطبش القایی به دست آمده از برداشت با آرایه مستطیل، امکان‌پذیر نیست. همچنین، نتایج نشان می‌دهد که تفسیر کیفی روش مقاومت ویژه الکتریکی نتایج بهتری در ارتباط با هندسه بی‌هنجری، نسبت به قطبش القایی نمایش می‌دهد.

واژه‌های کلیدی: قطبش القایی، اجزای محدود، مقاومت ویژه الکتریکی، آرایش الکترودی مستطیل، مدل‌سازی، کمسول اسکریپت، مدل کل-کل، درصد اثر بسامد

3D Modeling of resistivity and IP data for rectangle array using Finite Element Method

Zahra Falsafin¹, Ahmad Ghorbani^{1*} and Fateme Razavi rad¹

¹Department of Mining and Metallurgical Engineering, Yazd University, Iran

(Received: 26 May 2011, accepted: 28 September 2011, available online: 15 March 2012)

Summary

Rectangle array is widely used in resistivity and induced polarization (IP) studies. The purpose of this array is to restrict the wide areas especially in the exploration of sulfide

*Corresponding author:

aghorbani@yazduni.ac.ir

*نگارنده رابط:

minerals. On the contrary to the wide application of this array, less attention has been paid to the results of modelling and true estimates. The interpretations are normally qualitative.

A 3D resistivity and IP model was developed for the geoelectric surveys with a rectangle array. We used the COMSOL environment to solve the DC-resistivity and Maxwell's equations by the finite element method. Codes were programmed in Matlab language.

A common geometry of the model space was used for both resistivity and IP modelling. In the rectangle array, two current electrodes were located in a large distance and different potentials were measured on the profiles parallel to the current electrodes. Our model was formed by a homogeneous half space (a large block with dimensions $800 \times 800 \times 500$ m³, with a resistivity of 400 ohm.m). Two current electrodes with a 200-m distance were located on the surface. Non-polarizing electrodes were located in a 5-m distance. The two measuring electrodes were moved on the profiles (parallel to the current electrode direction). Nine parallel profiles were located symmetrically on each side of the current electrode direction. Each profile had a 40-m length. The distance between the profiles was 5 m. The electrode configuration could be changed in the model. IP and resistivity anomalies could be created from different blocked locations in the subsurface (into the half space). The blocks near the potential profiles had small dimensions. The block sizes increased as the depth increased. We calculated the geometrical factor for the half-space. Apparent resistivity for each dual potential electrode was calculated from different potentials measured during the code execution and its geometry factors.

We compared the results from different anomalies by sensitivity $\Delta\rho_a/\Delta\rho_i$, where $\Delta\rho_a$ is the difference between the apparent resistivity of the anomaly and the homogeneous half-space (400 ohm.m) and $\Delta\rho_i$ is the difference between the resistivity value of the half-space and the anomaly in block number *i*.

Frequency domain IP was calculated directly from Maxwell's equations. Block scheme of the model done in the modelling space resistivity were used here. There was a resistivity value for each subsurface block in the resistivity model while there were a resistivity and a dielectric value for each block in an IP model. Resistivity and dielectric values of each block are functions of the frequency. We used the Cole-Cole model in order to calculate the resistivity and dielectric values in each frequency. Four intrinsic Cole-Cole parameters (DC-resistivity, chargeability, time constant and frequency relaxation) were considered for each block. During the frequency changes, these parameters were constant. Finally, apparent resistivity and percentage frequency effect (PFE) maps were calculated in a frequency range of 0.1 to 12000 Hz.

In this research, we studied the effect of size, depth and overburden thickness of the subsurface anomalies. The geoelectrical effects of vertical and horizontal anomalies were investigated. The impact of the potential electrode separation was also verified. The results showed that the qualitative interpretation using the apparent resistivity and apparent percentage frequency effect (PFE) maps was correct when anomaly had remarkable dimensions, a small depth and a high conductivity. The apparent-resistivity map reflected the effect of conductive and polarisable anomalies better than the PFE map.

Key words: Induced polarization, electrical resistivity, finite element method, rectangle Array, modelling, COMSOL script, Cole-Cole model, percent frequency effect.

اولیه) برای تعیین ویژگی‌های هندسی و کیفی توده‌های هدف استفاده کرد؟ در این تحقیق اعتبار، قدرت تفکیک و حساسیت آرایش الکترودی مستطیل در تعیین بی‌هنجری‌های مقاومت ویژه الکتریکی و قطبش القایی بررسی می‌شود.

در این تحقیق از روش اجزای محدود برای حل عددی معادله پواسون و معادلات ماکسول در سه‌بعد استفاده شده است. بدین منظور نرم‌افزار کمسول (Comsol) نسخه ۳/۵ به کار گرفته شده (کمسول، ۲۰۰۴) و درنهایت نقشه مقاومت ویژه ظاهری و درصد اثر بسامد به دست آمده از یک مدل مصنوعی نشان داده شده و حساسیت آرایش الکترودی مستطیل با مثال‌هایی مورد بررسی قرار گرفته است.

۲ مدل‌سازی سه‌بعدی مقاومت ویژه الکتریکی

۱-۲ معادلات حاکم

در هر مدل‌سازی مقاومت ویژه الکتریکی، میدان پتانسیل V در یک محیط از حل معادله پواسون به دست می‌آید (ها و همکاران، ۲۰۰۶؛ مارسکو و همکاران، ۲۰۰۸ و لسم و مورگان ۲۰۰۱):

$$-\nabla \cdot (\sigma \nabla V) = \sum I_q \delta(r - r_q) \quad (1)$$

که در آن، σ تابع دیراک، I_q میزان جریان تزریقی در الکترودهای جریان در موقعیت r_q ، q تعداد الکترودهای جریان و σ رسانایی الکتریکی ($\sigma = 1/\rho$) است. شرط مرزی نیومن با:

$$-\sigma \nabla V \cdot n = J_n \quad (2)$$

و شرط مرزی دریکله با:

$$V = \bar{V} \quad (3)$$

نشان داده می‌شود. J_n بردار چگالی جریان عمود بر سطح و \bar{V} مقدار پتانسیل در مرز دریکله است.

۱ مقدمه

تعیین نقطه هدف در پی‌جوبی مواد معدنی پرهزینه است و مدت زمان زیادی لازم دارد، بنابراین در بسیاری از برداشت‌های مقاومت ویژه و قطبش القایی از آرایش الکترودی مستطیل به منزله روش برداشت شناسایی در تعیین محل بی‌هنجری احتمالی، با صرف زمان و هزینه کمتر استفاده می‌شود.

آرایش الکترودی مستطیل عبارت است از آرایشی که در آن جریان از راه دو الکترود با فاصله نسبتاً زیاد از هم (برای مثال ۱۰۰۰ متر) به زمین تزریق شود و برداشت‌های پتانسیل روی نیم‌رخ‌های موازی با امتداد الکترودهای جریان صورت گیرد. فرض بر این است که میدان الکتریکی در محدوده میانی فاصله بین نقاط تزریق جریان (محدوده اندازه‌گیری پتانسیل) افقی است.

این نوع آرایش کاربرد وسیعی در اکتشاف کانسارهای توده‌ای و پرفیری، به خصوص در پی‌جوبی ژئوالکتریکی مناطق وسیع دارد (نوروزی و غلامی، ۱۳۸۴؛ باکالی و امرانی، ۲۰۰۵). به عبارتی با این آرایش الکترودی تنها با جابه‌جا کردن دو الکترود پتانسیل، در مدت زمان کوتاهی می‌توان منطقه وسیعی را پوشش داد. معمولاً تفسیر نقشه‌های بارپذیری ظاهری و مقاومت ویژه ظاهری به دست آمده به کمک این آرایش به صورت کیفی است. بدین ترتیب محل بی‌هنجری‌ها مشخص می‌شود و برداشت‌های ژئوالکتریکی دیگر (برای مثال تهیه مقاطع عمقی با استفاده از آرایش‌های دیگر مانند دوقطبی-دوقطبی) روی بی‌هنجری‌های تفسیر شده به منظور تکمیل اطلاعات صورت می‌پذیرد. اما، نکته قابل ذکر این است که تاکنون مدل‌سازی مستقیم و معکوس روی داده‌های به دست آمده با آرایش الکترودی مستطیل، صورت نگرفته است. لذا، اعتبار، قدرت تفکیک و حساسیت این آرایش در تعیین بی‌هنجری‌های احتمالی واضح نیست. آیا می‌توان از این آرایش به منزله یک آرایش مستقل (و نه

۲-۲ مدل سازی عددی مقاومت ویژه الکتریکی با به کار بردن کمسول اسکریپت (Comsol Script)

در این بخش نحوه مدل سازی عددی مقاومت ویژه الکتریکی سه بعدی برای آرایش الکترودی مستطیل بر پایه اجزای محدود عرضه شده است. اجرای مدل عددی مقاومت ویژه بحث شده در بخش ۱-۲، با نرم افزار کمسول اسکریپت صورت گرفت و به زبان مطلب برنامه نویسی شد. مدل سازی برای این نوع آرایش الکترودی بدین شکل صورت گرفته است که در ابتدا زمین به صورت یک بلوک بزرگ با ابعاد $500 \times 800 \times 800$ متر طوری طراحی شده است که حالت نیم فضای همگن ایجاد شود. دو الکترود جریان با فاصله ۲۰۰ متر نسبت به مرکز بلوک قرار گرفته اند که جریان مستقیم ۱ آمپر از آنها عبور می کند. محور Z به طرف پایین مثبت است. الکترودهای پتانسیل به فاصله ۵ متر از یکدیگر روی ۹ نیم رخ موازی با امتداد الکترودهای جریان، به پتانسیل اندازه گیری می کنند. طول هر نیم رخ ۴۰ متر است. نیم رخ های ذکر شده ۵ متر از یکدیگر فاصله دارند و به طور متقاضان نسبت به امتداد الکترودهای جریان واقع شده اند. چگالی جریان در نزدیکی الکترودهای جریان پیشینه است و با افزایش فاصله از الکترودهای جریان به تدریج کاهش می یابد. به منظور تصحیح مش بندی در اطراف نقاط تزریق جریان و در نتیجه انتقال صحیح جریان به محیط مدل، بلوک هایی در نزدیکی نقاط جریان در نظر گرفته شد. به عبارت دیگر در داخل بلوک بزرگ با ابعاد $500 \times 800 \times 800$ متر بلوک های کوچک تری با همان مقاومت ویژه الکتریکی در نظر گرفته شد. به منظور ایجاد بی هنجاری های مقاومت ویژه و قطبش القایی زیر سطحی با ابعاد متفاوت و در مکان های دلخواه، نیم فضای پیش گفته به بلوک هایی تقسیم شدند (شکل ۱). بلوک های با ابعاد کوچک در زیر نیم رخ های برداشت پتانسیل قرار دارد به طوری که با افزایش عمق، ابعاد بلوک ها افزایش

برای بسیاری از آرایش های هندسی ساده، حل تحلیلی معادله فوق وجود دارد. در حالات پیچیده تر حل عددی با استفاده از روش اجزای محدود به کار می رود. یک شکل از معادله پواسون در اجزای مرزی با معادله (مارسکو و همکاران، ۲۰۰۸ و ساساکی، ۱۹۹۴):

$$\int \sigma \nabla V \cdot \nabla \delta V dV + \int J_q \delta V d\Gamma = \sum I_q \delta V(r_q) \quad (4)$$

نشان داده می شود، که در آن، Γ_N شرط مرزی نیومن در فصل مشترک محیط مورد بررسی و هوا است ($J_n = 0$). شرط مرزی در یکله برای نقاط خیلی دور از الکترودها در نظر گرفته می شود. روش اجزای محدود شکل گستته معادله (۴) را حل می کند. فرایند گسسته سازی و جمع سهم همه اجزا به شکل دستگاه خطی زیر خلاصه می شود (مارسکو و همکاران، ۲۰۰۸).

$$K \mathbf{P} = \mathbf{S} \quad (5)$$

که در آن، \mathbf{k} یک ماتریس بزرگ، اسپارس (sparse) متقاضان حاوی اطلاعات هندسی و توزیع مقادیر رسانایی، \mathbf{p} بردار محتوی مقادیر میدان پتانسیل محاسبه شده و \mathbf{S} بردار منبع است. حل معادله (۵) مقادیر پتانسیل در همه گره های شبکه (بردار \mathbf{p}) را به دست می دهد.

مقاومت ویژه الکتریکی ظاهری از حاصل ضرب ضریب هندسی \mathbf{k} در نسبت پتانسیل اندازه گیری شده به جریان الکتریکی تزریق شده، محاسبه می شود.

$$\rho_a = K \Delta V / I \quad (6)$$

ضریب هندسی \mathbf{k} با این فرض که در یک محیط همگن با مقاومت ویژه، $\rho = \rho_a$ است، به دست می آید. ابعاد بلوک ها در مدل سازی طوری طراحی شده اند که حالت نیم فضای همگن ایجاد شود، لذا، می توان برای محاسبه ضریب هندسی آرایش از روابط در نیم فضای همگن استفاده کرد.

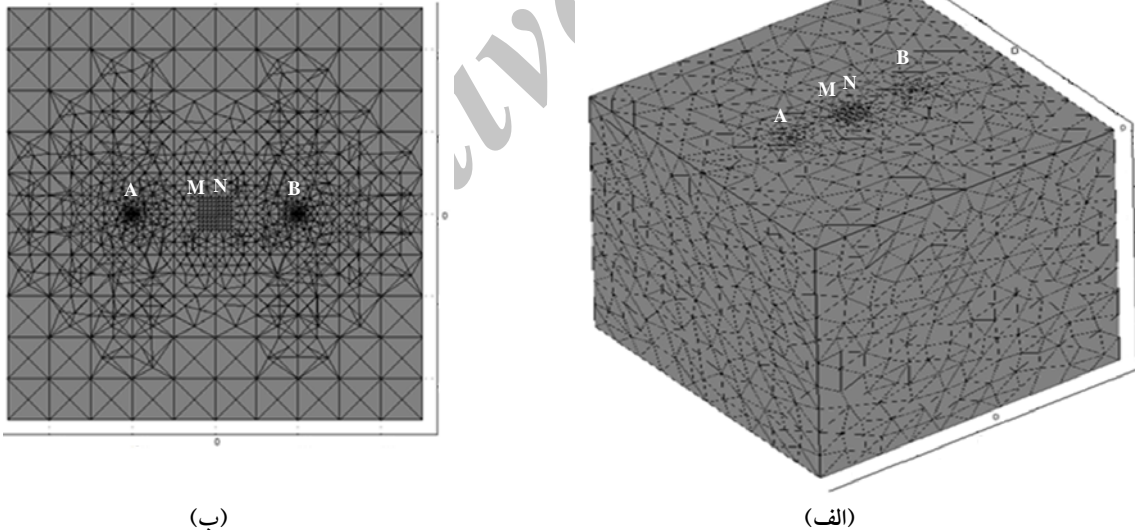
جفت الکترودهای پتانسیل به دست می‌آید. با استفاده از روابط نیم فضای همگن، مقادیر ضریب هندسی ($K = \frac{1}{BN} + \frac{1}{AM - 1/(AN - 1/BM)}$) و مقاومت ویژه ظاهری ($\rho_a = K\Delta V/I$) محاسبه و نقشه مقاومت ویژه ظاهری آن برای شبکه نقاط پتانسیل در نرم‌افزار سورفر (Surfer) امداده می‌شود (شکل ۲).

۳-۲ تعیین معیار حساسیت

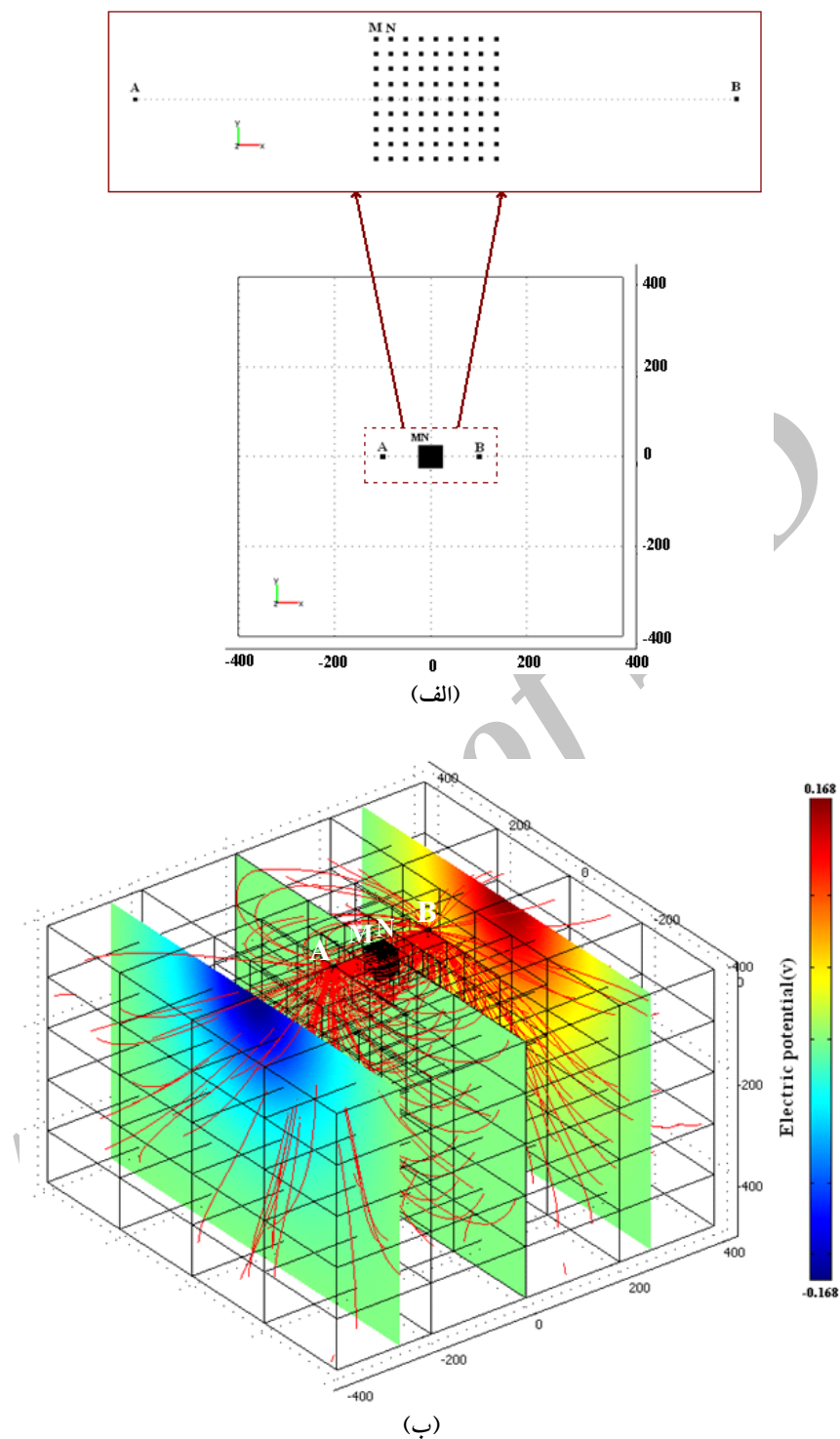
همان‌طور که می‌دانیم، نتیجه برداشت مقاومت ویژه الکتریکی با استفاده از آرایش الکترودی مستطیل، نقشه مقاومت ویژه ظاهری در محل نیم‌رخ‌های الکترودهای پتانسیل است. بهمنظور مقایسه نتایج به دست آمده از بی‌亨جاری‌های مقاومت ویژه گتفاوت برداشت شده با این آرایش الکترودی، از معیار حساسیت مطابق تعریف زیر استفاده شد.

می‌یابد. حل مدل پواسون با بلوک‌بندی انتخاب شده و با مش ندی بهینه، برای نیم‌فضا، روشن ساخت که پتانسیل محاسبه شده در نقاط متفاوت دارای خطای کمتر از ۱٪ است.

بهمنظور ایجاد بی‌هنجاری در داخل نیم‌فضای همگن پیش‌گفته، بلوک‌های کوچک‌تری در نظر گرفته شد. بلوک‌بندی محیط تا جایی ادامه پیدا می‌کند که مش‌بندی منظم، اندازه اجزای ثابت و نتایج یک برنامه در دو بار اجرا یکسان شود (شکل ۱). برای ایجاد بی‌هنجاری رسانا نسبت به محیط (بلوک بزرگ) کافی است مقدار مقاومت ویژه الکتریکی یک یا تعدادی از بلوک‌های موردنظر را نسبت به محیط (بلوک بزرگ) تغییر داد و در حکم توده زیرسطحی در نظر گرفت. لازم به ذکر است که مشخصات توده‌ها و فواصل الکترودی قابل تغییرند. با اجرای این مدل، مقادیر اختلاف پتانسیل الکتریکی برای



شکل ۱. (الف) مش‌بندی مدل قبل از تقسیم بلوک به بلوک‌های کوچک و (ب) مش‌بندی مدل بعد از تقسیم بلوک به بلوک‌های کوچک که بهمنظور نمایش بهتر اندازه و نظم اجزا، به صورت دو بعدی نمایش داده شده است. A و B محل الکترودهای جریان، M و N محل الکترودهای پتانسیل است. بلوک بزرگ دارای طول و عرض برابر 800 متر و عمق 500 متر است.



شکل ۲. (الف) طرح‌بندی مدل‌سازی سه‌بعدی شامل زمین به صورت یک بلوک بزرگ با ابعاد $800 \times 800 \times 500$ متر. دو الکترود جریان با فاصله ۲۰۰ متر نسبت به مرکز بلوک قرار گرفته‌اند. الکترودهای پتانسیل به فاصله ۵ متر از یکدیگر روی ۹ نیم‌رخ موازی با امتداد الکترودهای جریان، پتانسیل اندازه‌گیری می‌کنند. طول هر نیم‌رخ ۴۰ متر است. نیم‌رخ‌های ذکر شده ۵ متر از یکدیگر فاصله دارند و به طور متقاضی نسبت به امتداد الکترودهای جریان واقع شده‌اند. (ب) توزیع پتانسیل الکتریکی (سطح رنگی) و خطوط میدان الکتریکی پس از حل مدل مقاومت ویژه برای مدل نیم‌فضا (۴۰۰ اهم متر) با آرایش الکترودی مستطیل A و B پتانسیل الکتریکی (سطح رنگی) و خطوط میدان الکتریکی پس از حل مدل مقاومت ویژه برای مدل نیم‌فضا (۴۰۰ اهم متر) با آرایش الکترودی مستطیل A و B.

$$\Delta \rho_i = \rho_M - \rho_B \quad (8)$$

قابل ذکر است هنگامی که توده‌ای با رسانایی زیاد و ابعاد مناسب نزدیک سطح زمین قرار گرفته باشد، نتایج حاصل از نتیجه برداشت مقاومت ویژه ظاهری بیشترین مقدار حساسیت را دارد (شکل ۳). به عبارت دیگر:

$$\left| \frac{\Delta \rho_a}{\Delta \rho_i} \right| = 1 \quad (9)$$

۳ مدل‌سازی سه‌بعدی قطبش القایی

۱-۳ معادلات حاکم

در این تحقیق مدل‌سازی سه‌بعدی قطبش القایی در حوزه بسامد، مستقیماً با حل معادلات ماکسول صورت پذیرفت. لازم به ذکر است که به منظور مدل‌سازی قطبش القایی در حوزه زمان باید از معادلات فوریه استفاده شود که می‌توان در ادامه این تحقیق عملی ساخت.

معادلات ماکسول مجموعه‌ای از معادلات هستند که به صورت‌های دیفرانسیلی یا انتگرالی نوشته می‌شوند. معادلات ماکسول روابط بین کمیت‌های اساسی الکترومغناطیس را بیان می‌کنند. این کمیت‌ها عبارت‌اند از: E شدت میدان الکتریکی، D جریان جابه‌جایی، H شدت میدان مغناطیسی، B چگالی شار مغناطیسی، J چگالی جریان و q چگالی بار الکتریکی. صورت دیفرانسیلی معادلات ماکسول به شکل زیر است (جکسون، ۱۹۹۸):

$$\nabla^* H = J + \frac{\partial D}{\partial t} \quad (10)$$

$$\nabla^* E = - \frac{\partial B}{\partial t} \quad (11)$$

$$\nabla \cdot D = q \quad (12)$$

$$\nabla \cdot B = 0 \quad (13)$$

به منظور مقایسه نتایج به دست آمده از بی‌هنگاری‌های متفاوت زیرسطحی، معیار حساسیت به صورت زیر تعریف شد. برای مثال اگر فقط عمق یک بی‌هنگاری زیرسطحی تغییر کند و دیگر شرایط محیط و بی‌هنگاری ثابت بماند، حساسیت طوری انتخاب شده است که بتواند معیار مناسبی برای تعیین تباين مقاومت ویژه الکتریکی باشد. در واقع این معیار، اختلاف بین مقاومت ویژه ظاهری ثبت شده در یک نقطه اندازه‌گیری برای محیط همگن و مقاومت ویژه ظاهری ثبت شده در همان نقطه و وقتی است که بی‌هنگاری رساناً در محیط همگن قرار دارد. اختلاف مقاومت ویژه‌های ظاهری موردنظر نسبت به اختلاف مقاومت ویژه محیط همگن و بی‌هنگاری رساناً، نرمال می‌شود. بدین صورت که برای تعیین معیار حساسیت دو حالت از وضعیت محیط مدل‌سازی در نظر گرفته شده است. حالت اول محیط همگن با مقاومت ویژه الکتریکی (ρ_M (محیطی با مقاومت ویژه الکتریکی 400 اهم متر). در این حالت مقدار مقاومت ویژه ظاهری حاصل در هر نقطه از آرایش الکترودی مستطیل ρ_{a1} است. حالت دوم برای توده‌ای با مقاومت ویژه الکتریکی ρ_B است که در یک محیط همگن با مقاومت ویژه الکتریکی ρ_M قرار گرفته است. در این حالت مقدار مقاومت ویژه ظاهری (اهم متر) حاصل در همان نقطه (حالت اول) از آرایش الکترودی مستطیل ρ_{a2} است. مقادیر مقاومت ویژه ظاهری در هر نقطه ($\Delta \rho_a$) از اختلاف ρ_{a1} و ρ_{a2} به دست آمده است. به منظور نرمال کردن، اختلاف مقاومت ویژه ظاهری ($\Delta \rho_a$) به اختلاف مقادیر مقاومت ویژه الکتریکی محیط (بلوک بزرگ) و توده رساناً ($\Delta \rho_i$) تقسیم شده است. درنهایت، معیار حساسیت به صورت $\Delta \rho_a / \Delta \rho_i$ تعریف شده است.

$$\Delta \rho_a = \rho_{a2} - \rho_{a1} \quad (7)$$

که در آن، ϵ_r ثابت دیالکتریک نسبی است.

معادله کلی جریان جابه‌جایی به صورت زیر نوشته می‌شود (جکسون، ۱۹۹۸):

$$\mathbf{D} = \epsilon_0 \epsilon_r \mathbf{E} + \mathbf{D}_r \quad (16)$$

که در آن، D_r جابه‌جایی باقیمانده است که مقدار جابه‌جایی را هنگامی که میدان الکتریکی وجود نداشته باشد نشان می‌دهد.

اگر عمق پوسته‌ای در کل محدوده بزرگ‌تر از هندسه موردنظر باشد، می‌توان از جفت‌شدنگی بین میدان‌های الکتریکی و مغناطیسی یا به عبارت دیگر از جریان القایی صرف نظر کرد. بنابراین، می‌توان معادله شبه‌پایا برای جریان الکتریکی را به صورت زیر بیان کرد (جکسون، ۱۹۹۸):

$$-\nabla * ((\sigma + j\omega \epsilon_0) \nabla V - \mathbf{j}^e) = 0 \quad (17)$$

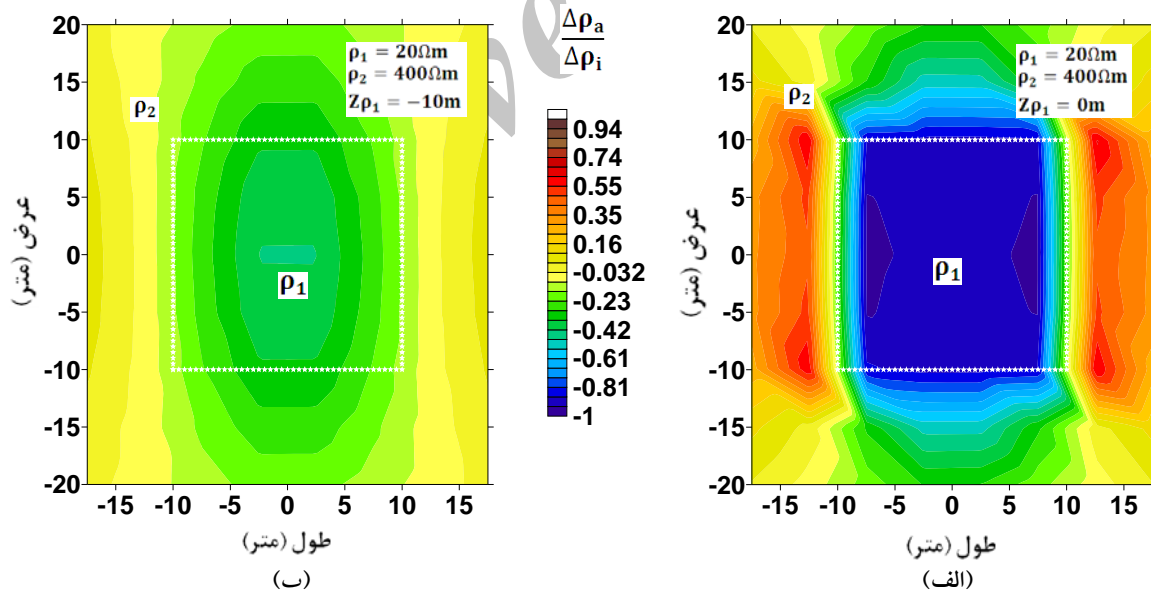
معادلات (۹) و (۱۰) به ترتیب قانون آمپر و قانون فارادی هستند. معادلات (۱۱) و (۱۲) به ترتیب قانون گاوس را برای حالت الکتریکی و مغناطیسی بیان می‌کنند.

عامل اساسی در مدل‌سازی قطبش القایی در حوزه بسامد، جریان جابه‌جایی (\mathbf{D}) است و به صورت زیر بیان می‌شود.

$$\mathbf{D} = \epsilon_0 \mathbf{E} + \mathbf{P} \quad (14)$$

که در آن، $\epsilon_0 = 8.854 \times 10^{-12}$ ثابت دیالکتریک خلا F/m است. بردار قطبش الکتریکی \mathbf{P} چگونگی قطبیده شدن مواد را در حضور میدان الکتریکی \mathbf{E} بیان می‌کند. برای مواد ناهمگن، قطبش نسبت مستقیمی با میدان الکتریکی دارد و $\mathbf{P} = \epsilon_0 \chi_e \mathbf{E}$ که χ_e مغناطیسی‌پذیری الکتریکی است.

$$\mathbf{D} = \epsilon_0 (1 + \chi_e) \mathbf{E} = \epsilon_0 \epsilon_r \mathbf{E} \quad (15)$$



شکل ۳. نقشه حساسیت الکتریکی توده رسانا با مقاومت ویژه الکتریکی ۲۰ اهمتر در محیطی با مقاومت ویژه الکتریکی ۴۰۰ اهمتر. (الف) توده رسانا به ابعاد 20×20 متر در نزدیکی سطح زمین واقع شده است (دارای بروزنزدگی است). (ب) همان توده رسانا در عمق ۱۰ متری واقع شده است. مستطیل سفیدرنگ تصویر توده رسانا را نشان می‌دهد.

الکترودی یا فلزی) بسیار بزرگ‌تر از قطبش سنگ‌ها و خاک‌های عقیم دربرگیرنده است (قطبشن غشایی). مقادیر ρ و ϵ_r محیط دربرگیرنده، حقیقی و به ترتیب برابر 400 اهم متر و یک و مقادیر ρ و ϵ_r توده زیرسطحی تابعی از بسامد در نظر گرفته شد. به منظور تعیین مقادیر ρ و ϵ_r توده زیرسطحی لازم است رابطه ρ و ϵ_r با بسامد تعیین شود. برای تعیین رابطه ρ و ϵ_r با بسامد از مدل کل-کل (Cole-Cole) استفاده شده است (کل و کل، ۱۹۴۱؛ پلتون و همکاران ۱۹۷۸). فرمول کل-کل برای پارامترهای قطبش القایی به صورت زیر نوشتہ می‌شود.

$$\rho^*(\omega) = \rho_0 \left[1 - m \left(1 - \frac{1}{1 + (i\omega\tau)^c} \right) \right] \quad (20)$$

که در آن، $(\omega)^*$: مقاومت ویژه مختلط (اهم)، m بارپذیری κ_m ، ρ_0 : مقاومت الکتریکی در جریان DC است، τ : ثابت زمانی (ثانیه)، $\omega = 2\pi f$ بسامد زاویه‌ای، f : بسامد بر حسب، c : وابستگی بسامد $\kappa_c < 0$ و $i^2 = -1$.

لیما و شارما (۱۹۹۲) رسانایی مختلط را به صورت زیر بیان کردند:

$$\sigma^*(\omega) = \sigma'(\omega) - i\sigma''(\omega) = \sigma'(\omega) - i\omega\epsilon'(\omega) \quad (21)$$

که در آن، σ' و σ'' به ترتیب بخش حقیقی و مجازی رسانایی و ϵ' ثابت دی‌الکتریک حقیقی است. رابطه بین رسانایی مختلط و مقاومت ویژه مختلط را می‌توان به صورت زیر نوشت:

$$\sigma^*(\omega) = \frac{1}{\rho^*(\omega)} \quad (22)$$

رابطه (۲۲) را می‌توان به صورت زیر نوشت:

$$\begin{aligned} \sigma^*(\omega) &= \frac{1}{\rho'(\omega) + i\rho''(\omega)} \\ &= \frac{\rho'(\omega)}{|\rho^*(\omega)|^2} - i \frac{\rho''(\omega)}{|\rho^*(\omega)|^2} \end{aligned} \quad (23)$$

که در آن، J : جگالی جریان خارجی بر حسب آمپر بر متر مربع، ∇V : اختلاف پتانسیل بر حسب ولت، S : رسانایی الکتریکی بر حسب زیمنس بر متر، (Ω) : بسامد زاویه‌ای بر حسب رادیان بر ثانیه است.

برای حل معادله (۱۶) شرایط مرزی نیومن و دریکله به صورت زیر اعمال می‌شود.

$$-\sigma \nabla V \cdot n = J_n \quad (18)$$

$$V = \bar{V} \quad (19)$$

در نظر گرفته می‌شود که در آن، J : بردار جگالی جریان عمود بر سطح و \bar{V} : مقدار پتانسیل در مرز دریکله است.

۲-۳ مدل‌سازی عددی قطبش القایی با به کار بردن کمسول اسکریپت

مدل‌سازی در این بخش مانند مدل‌سازی بخش ۲-۲ است؛ با این تفاوت که در مدل‌سازی مقاومت ویژه الکتریکی تنها لازم بود که مقدار مقاومت ویژه الکتریکی (ρ) محیط و توده زیرسطحی تعیین شود؛ اما، در مدل‌سازی قطبش القایی در حوزه بسامد لازم است مقاومت ویژه الکتریکی (ρ) و ثابت دی‌الکتریک نسبی (ϵ_r) محیط و توده زیرسطحی تعیین شود. اغلب سنگ‌ها و خاک‌ها (کانسارها و سنگ و خاک شامل مواد رسی) دارای مقاومت ویژه الکتریکی مختلط هستند (وکیه و همکاران، ۱۹۵۷؛ پلتون و همکاران، ۱۹۷۸؛ وانهالا، ۱۹۹۷). به عبارت دیگر مقاومت ویژه الکتریکی مختلط (مقاومت ویژه الکتریکی و ثابت دی‌الکتریک نسبی) آنها تابع بسامد است. در مدل‌سازی حاضر، مقاومت ویژه محیط دربرگیرنده بینجاري زیرسطحی (کانسار) حقیقی (غیروابسته به بسامد) و مقاومت ویژه کانسار عدد مختلط و وابسته به بسامد در نظر گرفته شد. این فرض از واقعیت دور نیست؛ زیرا مقادیر قطبش القایی کانسارها (قطبشن

بنابراین، مقدار $0/0381$ ثانیه برای τ به دست می‌آید. مدل کل-کل برای مقادیر مشخص پارامترهای m_0 , τ , ρ_0 در محدوده بسامد $0.0014 < f < 384000$ هرتز، مقادیر مقاومت ویژه مختلط $(\rho'')(\omega)$ را محاسبه می‌کند. در نهایت، مقادیر مقاومت ویژه الکتریکی $(\rho^{(0)})$ و ثابت دیالکتریک نسبی $(\epsilon_r^{(0)})$ نیز با استفاده از روابط زیر:

$$\epsilon_r(\omega) = \frac{1}{\omega \epsilon_0} \cdot \frac{\rho''(\omega)}{|\rho^*(\omega)|^2} \quad (26)$$

$$\rho(\omega) = \rho'(\omega) \quad (27)$$

محاسبه و در هر بسامد در مدل عرضه شده فراخوانی می‌شود. بنابراین، با اجرای این مدل با نرمافزار کمسول مقادیر پتانسیل الکتریکی در هر بسامد به دست می‌آید. در نتیجه می‌توان نقشه مقاومت ویژه ظاهری در هر بسامد، طیف مقاومت ویژه الکتریکی ظاهری در هر نقطه از شبکه برداشت و درصد اثر بسامد را به دست آورد (شکل ۴). درصد اثر بسامد (PFE) از مقادیر مقاومت ویژه الکتریکی به دست آمده در دو بسامد $0/1$ و 12000 هرتز محاسبه شد. نتایج نشان می‌دهد که مقدار درصد اثر بسامد به خوبی می‌تواند تغییرات مشخصات توده معدنی را نشان دهد (شکل ۵).

۴ بررسی نتایج مدل‌سازی مقاومت ویژه و قطبش الکایی حاصل از آرایش الکترودی

با توجه به اینکه هدف از این تحقیق، بررسی اثرات گوناگون مرتبط با بی‌هنچاری‌های زیرسطحی (اعم از ابعاد، عمق فوقانی، شبی و ضخامت توده بی‌هنچاری، تاثیر محل قرارگیری بی‌هنچاری نسبت به آرایش، جهت قرارگیری آن) و تاثیر فاصله بین الکترودهای پتانسیل است، لذا، اقدام به تعیین حساسیت آرایش الکترودی شد. به منظور بررسی حساسیت آرایش الکترودی مستطیل مدل عددی مقاومت ویژه الکتریکی سه‌بعدی مورد بحث در

که در آن، $\rho''(\omega) = \sqrt{\rho'^2 + \rho''^2}$ دامنه مقاومت ویژه مختلط و ρ' و ρ'' به ترتیب بخش حقیقی و مجازی امپدانس است. با ترکیب روابط (۲۱) و (۲۳) به سادگی می‌توان ثابت دیالکتریک نسبی را محاسبه کرد:

$$\epsilon_r(\omega) = \frac{1}{\omega} \cdot \frac{\rho''(\omega)}{|\rho^*(\omega)|^2} \quad (24)$$

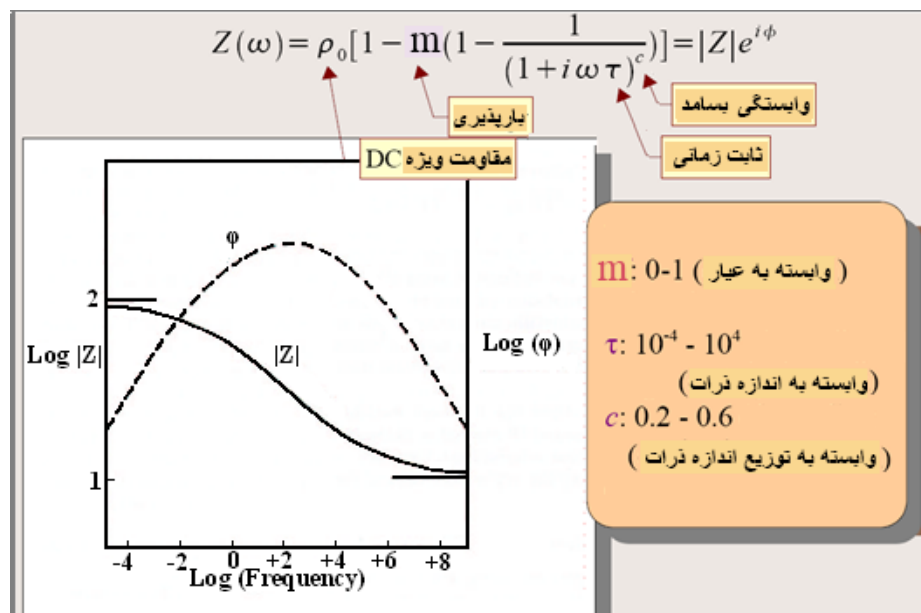
پلتون و همکاران (۱۹۷۸) از مدل کل-کل برای اکتشاف کانی‌سازی سولفوری، مگنتیت و گرافیت استفاده کردند. این مدل انطباق خوبی با برداشت‌های قطبش الکایی نشان داد. وانهالا (۱۹۹۷) برای بررسی آلودگی هیدروکربوری در آب‌های زیرزمینی از این رابطه استفاده کرد. تعیین پارامترهای مدل تجربی کل-کل، نقش اساسی در شناخت خواص کمی و کیفی بی‌هنچاری قطبش الکایی دارد. تحقیقات نشان داده است که در کانی‌سازی پرفیری، بارپذیری به کمیت ذرات قطبش‌پذیر (عيار ماده معدنی)، ثابت زمانی تابع اندازه ذرات و وابستگی بسامد تابع توزیع اندازه ذرات (دانه‌بندی) است (پلتون، ۱۹۷۸). چهار پارامتر مدل کل-کل، در محدوده تغییرات بسامد، ثابت هستند. لذا، با داشتن چهار پارامتر رابطه تجربی کل-کل که در محدوده تغییرات بسامد ثابت می‌مانند، می‌توان مقاومت ویژه مختلط موردنظر را ایجاد کرد و درنهایت پارامترهای $\rho(\omega)$ و $\epsilon_r(\omega)$ را محاسبه کرد. برای مثال، مقادیر این چهار پارامتر برای یک کانی‌سازی مناسب عبارت است از: $\rho_0 = 100$ اهمتر، $m = 0.3$ و $\epsilon_r = 4$. برای محاسبه τ از رابطه زیر استفاده شد (وانهالا، ۱۹۹۷):

$$f = \frac{1}{2\pi\tau(1-m)^{1/2c}} \quad (25)$$

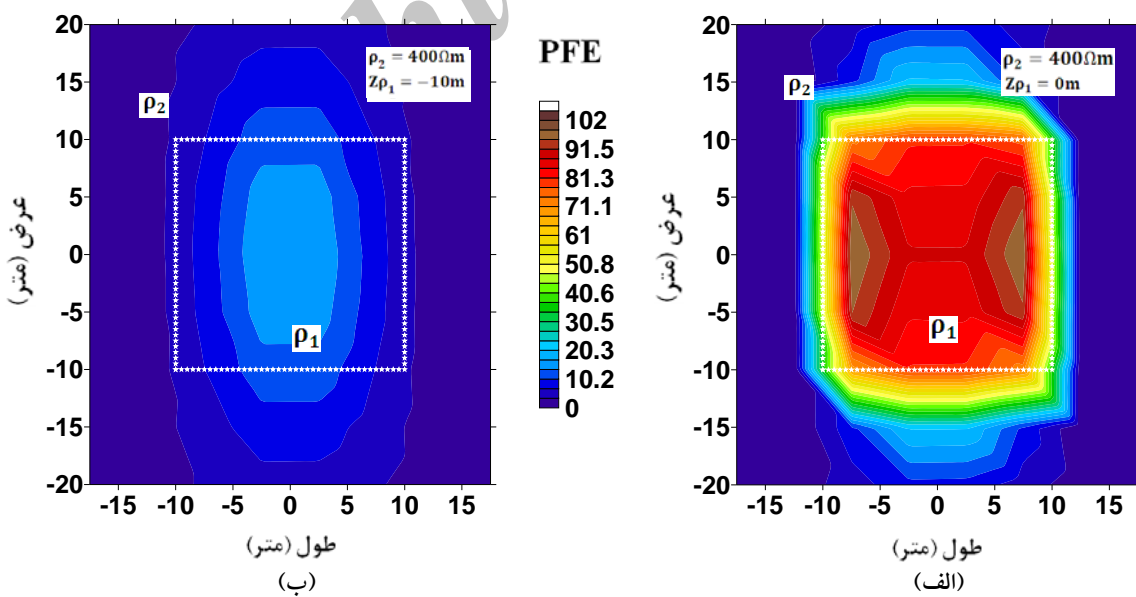
که در آن، f ، بسامدی است که بیشینه فاز اتفاق می‌افتد. مقدار $f = 5$ هرتز انتخاب شد تا بیشینه فاز تقریباً در وسط طیف (۱ میلی هرتز تا ۱۰ کیلو هرتز) قرار گیرد.

مستطیل نسبت به این تغییرات بررسی شد. به عبارتی قدرت تفکیک و شناسایی آرایش الکترودی مستطیل با توجه به مشخصات توده زیرسطحی مورد بررسی قرار گرفت.

بخش ۲-۳ در نظر گرفته شده است. با بررسی نتایج حاصل از تغییرات مشخصات توده زیرسطحی (ابعاد، عمق، ضخامت و نظیر آن)، حساسیت آرایش الکترودی



شکل ۴. طیف مقاومت ویژه و اختلاف فاز ظاهری مشاهده‌ای بر حسب پسامد برای مدل کل-کل (پلتون و همکاران، ۱۹۷۸). محدوده تغییرات پارامترها برای اکتشاف مواد معدنی اعمال شده است.



شکل ۵. نقشه درصد اثر پسامد توده رسانا با مقاومت ویژه الکتریکی ۴۰۰ اهم متر. (الف) توده رسانا به ابعاد ۲۰×۲۰×۲۰ متر دارای برونزدگی است. (ب) همان توده رسانا دارای عمق سطح فرقانی ۱۰ متری است. مستطیل سفیدرنگ تصویر توده رسانا را نشان می‌دهد.

ویژه الکتریکی دارد. به عبارتی روش مقاومت ویژه الکتریکی توده‌ای کوچک را بهتر از روش قطبش القایی در حوزه بسامد شناسایی می‌کند.

۲-۴ تاثیر عمق فوقانی توده رسانا بر قدرت تفکیک و شناسایی

به منظور بررسی تاثیر عمق فوقانی، یک توده رسانا به ابعاد $20 \times 20 \times 20$ متر در مرکز آرایش الکترودی مستطیل در نظر گرفته شده است که در حالت اول توده دارای برون‌زدگی و در حالت دوم عمق فوقانی توده رسانا $10 \times 10 \times 10$ متر در نظر گرفته شده است. مقاومت ویژه الکتریکی محیط (بلوک بزرگ) و توده رسانا به ترتیب 400 و 20 اهمتر است. همان‌طور که در شکل ۳ و ۵ به نظر می‌رسد با افزایش عمق فوقانی توده رسانا قدرت تفکیک و شناسایی به شدت کاهش می‌یابد.

همچنین، مطابق شکل ۷، به نظر می‌رسد که آرایش الکترودی مستطیل در هر دو روش مقاومت ویژه الکتریکی و قطبش القایی در حوزه بسامد برای توده‌هایی که در عمق زیاد قرار گرفته‌اند حساسیت کمی دارد. با مقایسه منحنی تغییرات مقدار $\rho \Delta_a / \rho \Delta_i$ نسبت به Z/AB (شکل ۷-الف) و منحنی تغییرات مقدار درصد اثر بسامد (شکل ۷-ب) چنین به نظر می‌رسد که قدرت تفکیک و شناسایی مقادیر درصد اثر بسامد در مقایسه با نتایج مقاومت ویژه ظاهری، افت شدیدتری نسبت به عمق دارد. بنابراین، روش مقاومت ویژه الکتریکی برای توده‌های عمیق نتایج بهتری را نسبت به روش قطبش القایی در حوزه بسامد به دست می‌دهد.

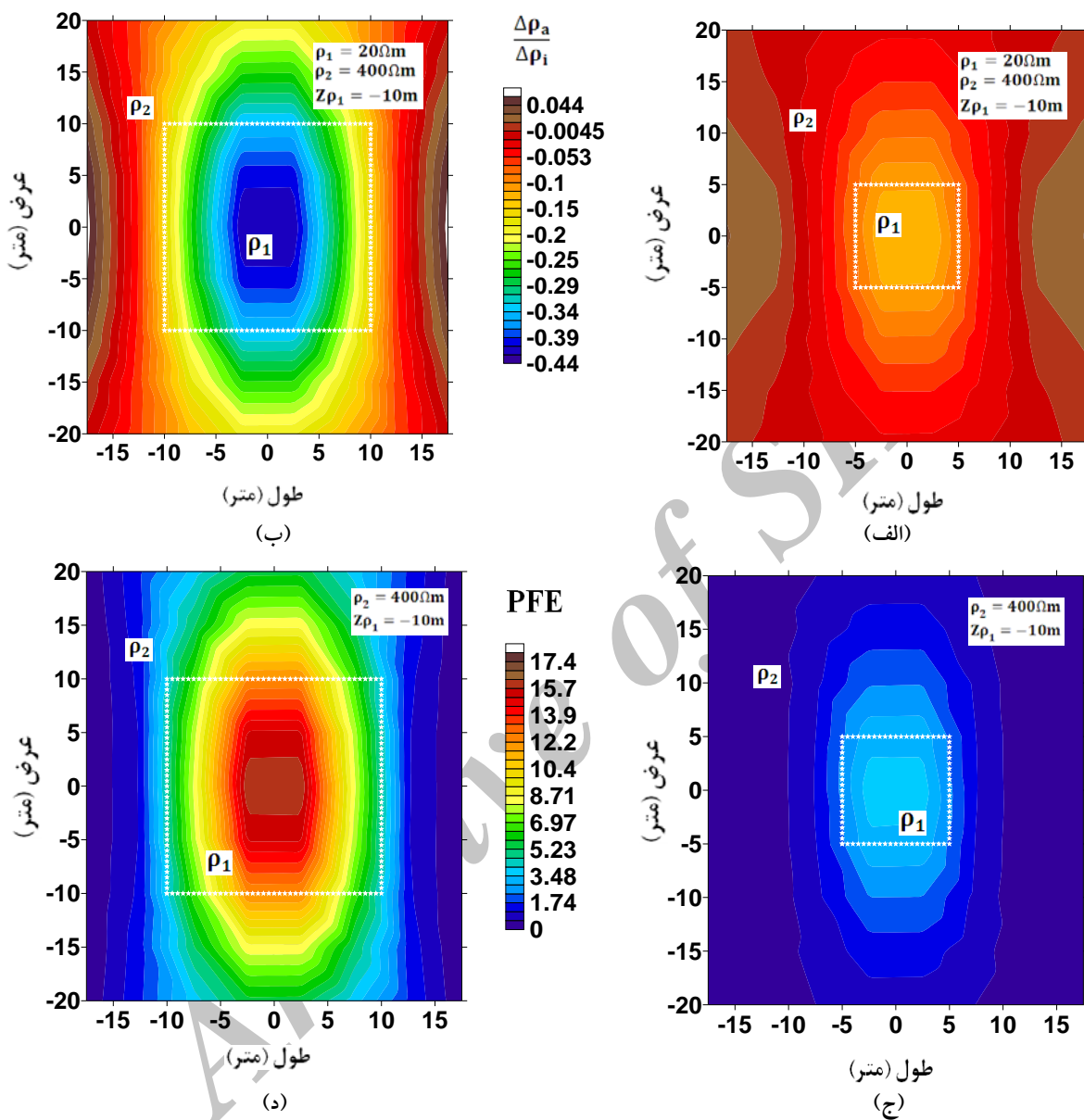
۱-۴ تاثیر ابعاد توده رسانا بر قدرت تفکیک و شناسایی

به منظور بررسی تغییرات ابعاد توده رسانا ابتدا مختصراً از چگونگی تغییرات مشخصات توده برای هر دو روش مقاومت ویژه الکتریکی و قطبش القایی شرح داده، و سپس به بررسی نتایج حاصل از آن پرداخته می‌شود.

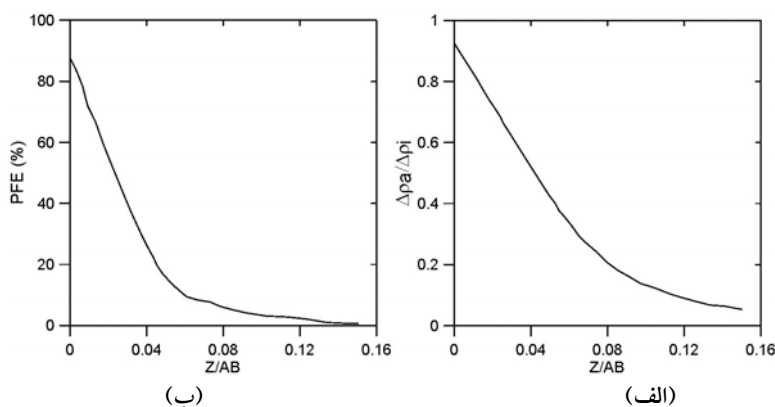
در روش مقاومت ویژه الکتریکی به منظور بررسی تاثیر ابعاد توده رسانا بر قدرت تفکیک و شناسایی، مدل عرضه شده در بخش ۲-۲ در نظر گرفته شده است. در حالت اول یک توده رسانا به ابعاد $10 \times 10 \times 10$ متر در عمق 10 متر در نظر گرفته شده است. مقاومت ویژه الکتریکی محیط (بلوک بزرگ) و توده رسانا به ترتیب 400 و 20 اهمتر است. در حالت دوم با ثابت نگه داشتن همه شرایط، ابعاد توده رسانا به $20 \times 20 \times 20$ متر افزایش داده شده است.

در روش قطبش القایی به منظور بررسی تاثیر ابعاد توده رسانا بر قدرت تفکیک و شناسایی، مدل عرضه شده در بخش ۲-۳ در نظر گرفته شده است. در حالت اول یک توده رسانا با بارپذیری زیاد ($m=0.7$) به ابعاد $10 \times 10 \times 10$ متر در عمق 10 متر در نظر گرفته شده است. مقاومت ویژه الکتریکی محیط (بلوک بزرگ) 400 اهمتر است. در حالت دوم با ثابت نگه داشتن همه شرایط، ابعاد توده رسانا به $20 \times 20 \times 20$ متر افزایش داده شده است.

مطابق شکل ۶، به نظر می‌رسد که آرایش الکترودی مستطیل در هر دو روش مقاومت ویژه الکتریکی و قطبش القایی در حوزه بسامد برای توده‌هایی با ابعاد کوچک حساسیت کمی دارد. نتایج قطبش القایی در حوزه بسامد در آرایش الکترودی مستطیل برای شناسایی توده‌هایی با ابعاد کوچک، حساسیت کمتری نسبت به نتایج مقاومت



شکل ۶. نقشه حساسیت الکتریکی توده رسانا در عمق ۱۰ متری (الف) به ابعاد 10×10 متر، (ب) به ابعاد 20×20 متر. نقشه درصد اثر بسامد توده رسانا در عمق ۱۰ متری، (ج) به ابعاد 10×10 متر و (د) به ابعاد 20×20 متر. مستطیل سفیدرنگ توده رسانا با ابعاد متفاوت را نشان می‌دهد.



شکل ۷. (الف) نمودار حساسیت الکتریکی (تغییرات مقاومت ویژه در توده رسانای زیرسطحی نسبت به Z/AB در نقطه مرکز آرایش الکترودی مستطیل). (ب) تغییرات درصد اثر بسامد نسبت به Z/AB در نقطه مرکز آرایش الکترودی مستطیل. Z عمق بررسی و AB فاصله بین الکترودهای جریان است.

فاصله الکترودهای جریان ۲۰۰ متر و اندازه‌گیری اختلاف پتانسیل در فواصل ۵ متری از یکدیگر روی ۱۳ نیم رخ موازی با امتداد الکترودهای جریان، صورت می‌گیرد. طول هر نیم رخ ۴۰ متر است. نیم رخ‌های ذکر شده ۵ متر از یکدیگر فاصله دارند و به طور متقابله نسبت به امتداد الکترودهای جریان واقع شده‌اند.

در حالت اول یک توده رسانا به ابعاد $10 \times 10 \times 10$ متر در عمق ۱۰ متر در مرکز آرایش مستطیل در نظر گرفته شده است. در حالت دوم با ثابت نگه داشتن همه شرایط، توده رسانا در گوشاهی از آرایش مستطیل در نظر گرفته شده است. مقاومت ویژه الکتریکی محیط (بلوک بزرگ) و توده رسانا به ترتیب ۴۰۰ و ۲۰ اهم متر است.

مطابق شکل ۹، به نظر می‌رسد که روش مقاومت ویژه الکتریکی و روش قطبش القایی در آرایش الکترودی مستطیل با تغییر موقعیت توده رسانا نسبت به شبکه برداشت آرایش مستطیل، تغییر محسوسی در قدرت تفکیک و شناسایی توده رسانا ایجاد نمی‌کنند. به عبارتی روش مقاومت ویژه الکتریکی و روش قطبش القایی در حوزه بسامد تقریباً قدرت تفکیک و شناسایی یکسانی را در همه نقاط آرایش الکترودی مستطیل نشان می‌دهند. بنابراین، با

۳-۴ تأثیر ضخامت توده رسانا بر قدرت تفکیک و شناسایی

بدین منظور یک توده رسانا به ابعاد مسطحهای $10 \times 10 \times 10$ متر در عمق ۱۰ متر در مرکز آرایش الکترودی مستطیل در نظر گرفته شده است. ضخامت توده رسانا در حالت اول ۲۰ متر و در حالت دوم به ۴۰ متر افزایش یافته است.

مطابق شکل ۸ به نظر می‌رسد که قدرت تفکیک و شناسایی توده رسانا در هر دو روش مقاومت ویژه الکتریکی و قطبش القایی در حوزه بسامد با افزایش ضخامت توده رسانا در جهت عمق، تقریباً ثابت است. بنابراین، روش مقاومت ویژه الکتریکی و قطبش القایی در حوزه بسامد در آرایش الکترودی مستطیل قادر به تشخیص ضخامت توده رسانا نیستند.

۴-۴ تأثیر محل قرارگیری توده رسانا نسبت به شبکه آرایش بر قدرت تفکیک و شناسایی

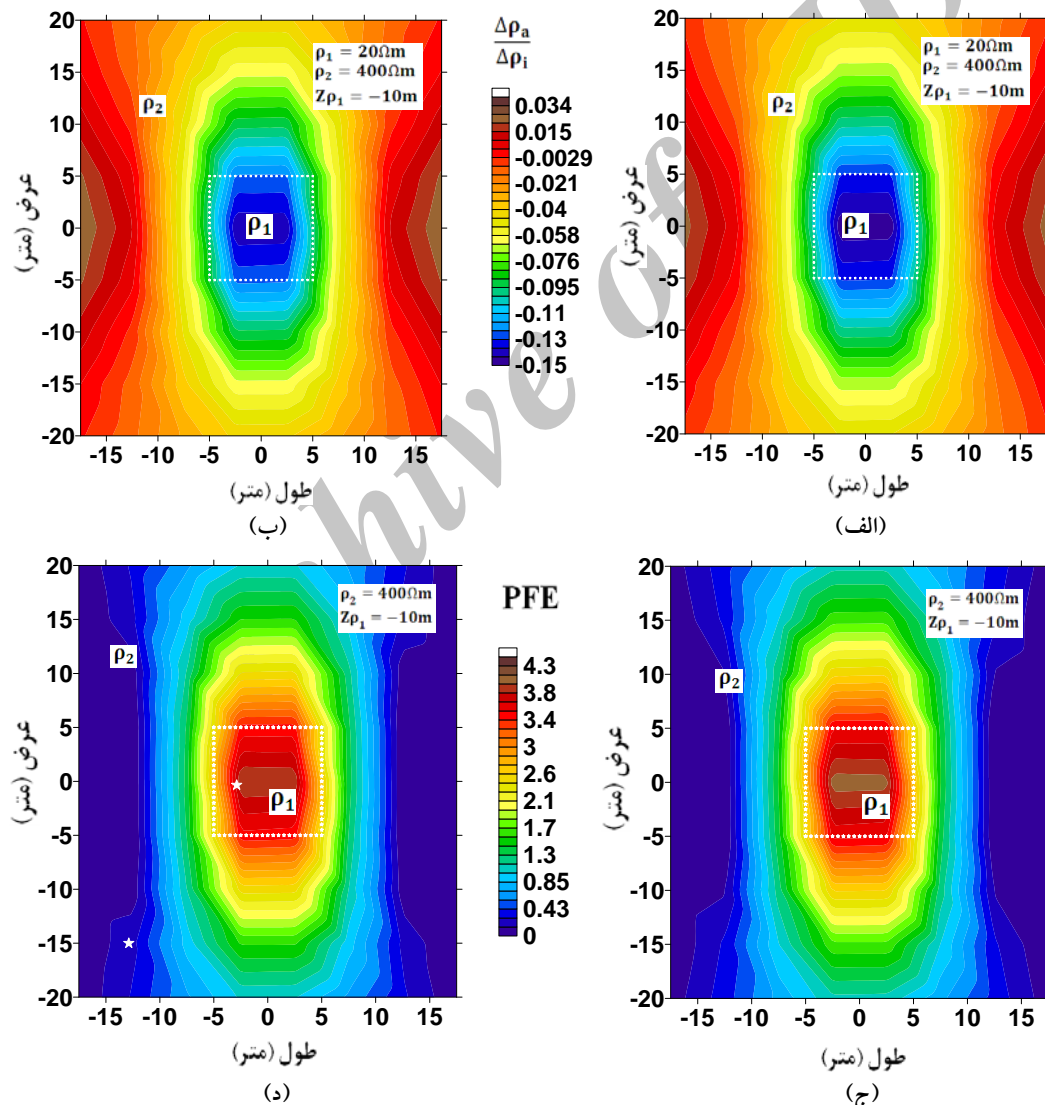
به منظور بررسی تأثیر محل قرارگیری توده رسانا نسبت به آرایش مستطیل بر قدرت تفکیک و شناسایی، مدل عرضه شده در بخش ۲-۲ (روش مقاومت ویژه الکتریکی) و بخش ۳-۳ (روش قطبش القایی) در نظر گرفته شده است.

در حالت دوم توده رسانا به ابعاد $10 \times 10 \times 20$ متر در عمق ۱۰ متری در راستای شرقی- غربی در نظر گرفته شده است.

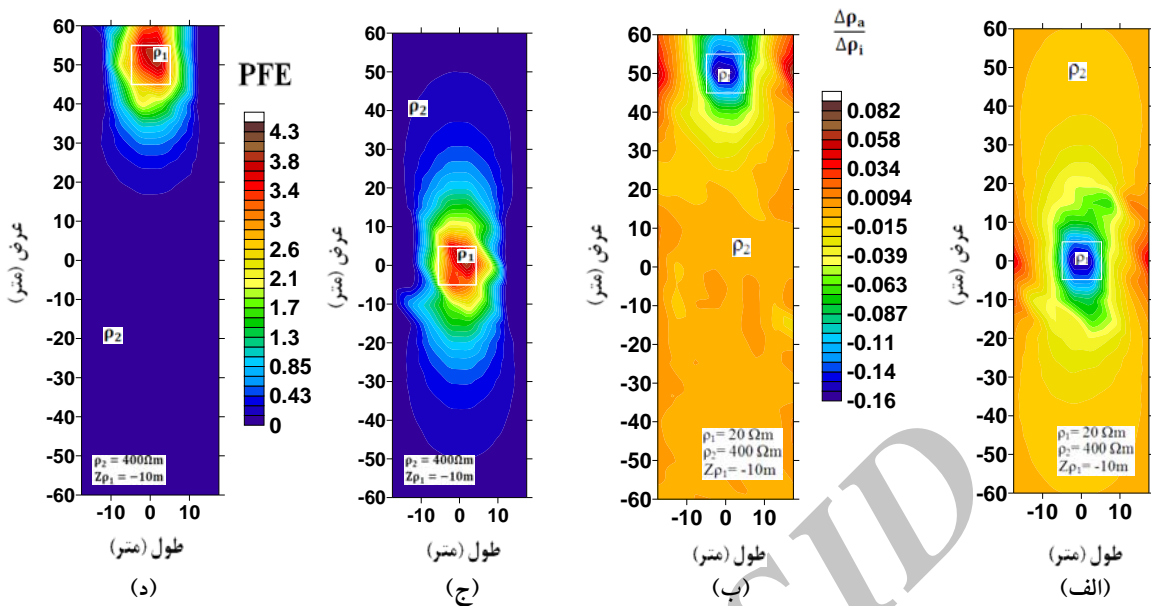
تشخیص جهت‌داری توده رسانا با هر دو روش مقاومت ویژه الکتریکی و قطبش القایی کمتر امکان پذیر است. بنابراین، حساسیت آرایش الکترودی مستطیل نسبت به جهت قرارگیری توده رسانا بسیار کم است (شکل ۱۰).

توجه به بررسی‌های صورت گرفته، می‌توان بیان کرد که ابعاد شبکه مستطیلی ($\frac{AB}{3} \times \frac{AB}{2}$) مورد استفاده در برداشت‌های صحراوی، ابعاد مناسبی هستند.

۴-۵ تاثیر جهت قرارگیری توده رسانا نسبت به شبکه آرایش بر قدرت تفکیک و شناسایی بدین منظور در حالت اول یک توده رسانا به ابعاد $20 \times 10 \times 10$ متر در عمق ۱۰ متری در راستای شمال- جنوب و



شکل ۸ نقشه حساسیت الکتریکی برای توده‌ای رسانا در عمق ۱۰ متر، (الف) به ابعاد $20 \times 10 \times 10$ متر و (ب) به ابعاد $40 \times 10 \times 10$ متر. نقشه در صد اثر بسامد (ج) به ابعاد $20 \times 10 \times 10$ متر و (د) به ابعاد $40 \times 10 \times 10$ متر. مستطیل سفیدرنگ تصویر توده رسانا را نشان می‌دهد.



شکل ۹. توده رسانا به ابعاد $10 \times 10 \times 10$ متر در عمق ۱۰ متری قرار گرفته است. نقشه حساسیت الکتریکی، (الف) توده رسانا واقع در مرکز آرایش مستطیل. (ب) توده رسانا واقع در گوشه‌ای در زیر نیمرخ‌های برداشت پتانسیل. نقشه درصد اثر بسامد، (ج) توده رسانا در مرکز آرایش مستطیل و (د) توده رسانا در گوشه‌ای در زیر نیمرخ‌های برداشت پتانسیل. مستطیل سفیدرنگ تصویر توده رسانا را نشان می‌دهد.

۷-۴ تاثیر اندازه فاصله الکترودهای پتانسیل (MN)

بر قدرت تفکیک و شناسایی توده‌های

با توجه به مدل‌های عرضه شده در بخش ۲-۲ و ۲-۳، در حالت اول اختلاف پتانسیل در فواصل ۱۰ متر از یکدیگر روی ۵ نیمرخ موازی با امتداد الکترودهای جريان، پتانسیل اندازه گیری می‌کنند. طول هر نیمرخ ۴۰ متر است. نیمرخ‌های ذکر شده ۱۰ متر از یکدیگر فاصله دارند و به طور متقاض نسبت به امتداد الکترودهای جريان واقع شده‌اند.

در حالت دوم الکترودهای پتانسیل به فاصله ۵ متر از یکدیگر روی ۹ نیمرخ موازی با امتداد الکترودهای جريان، پتانسیل اندازه گیری می‌کنند. طول هر نیمرخ ۴۰ متر است. نیمرخ‌های ذکر شده ۵ متر از یکدیگر فاصله دارند و به طور متقاض نسبت به امتداد الکترودهای جريان واقع شده‌اند.

یک توده رسانا به ابعاد $20 \times 20 \times 20$ متر در عمق ۱۰

۶-۴ بررسی قدرت تفکیک و شناسایی توده‌های

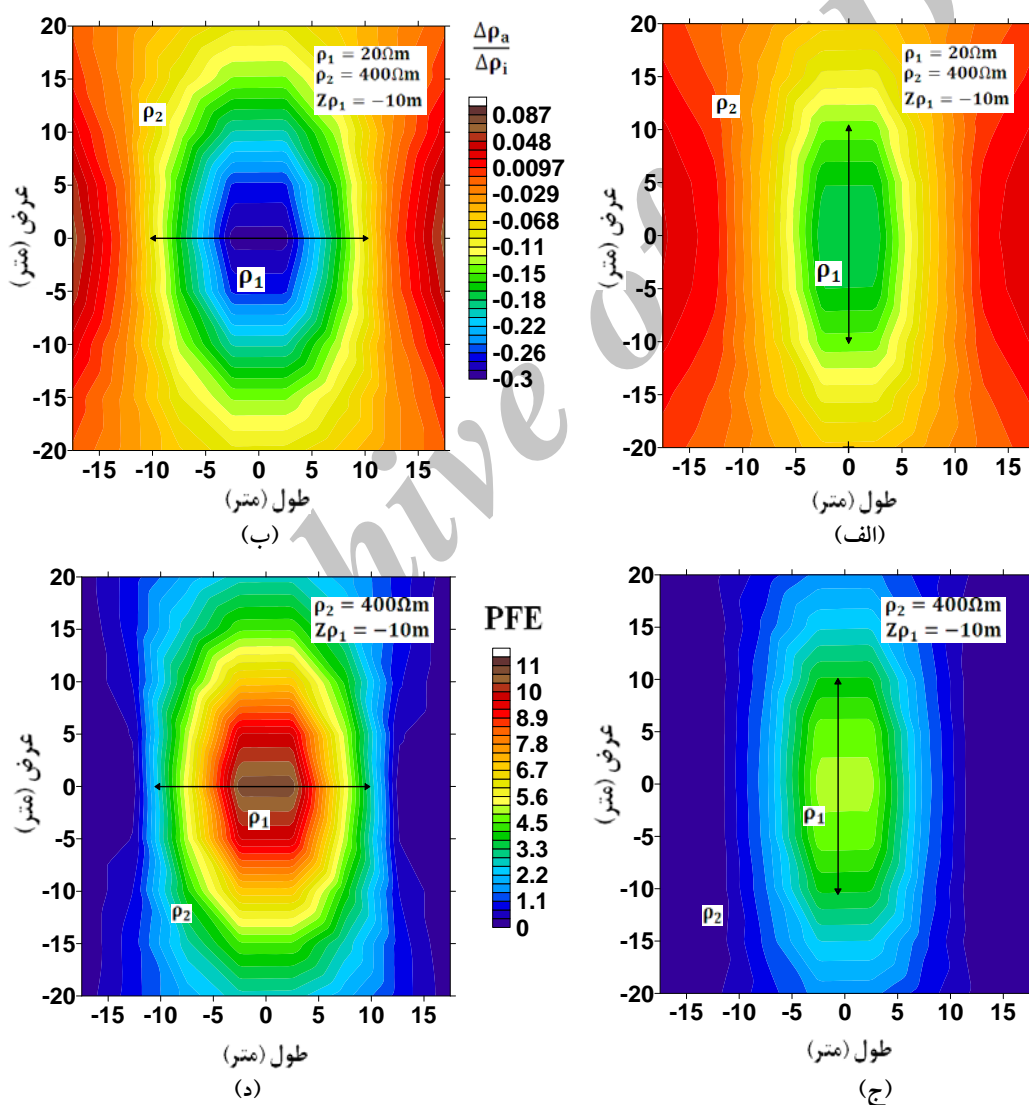
رسانای قائم و شب‌دار

به منظور بررسی قدرت تفکیک و شناسایی توده‌های رسانای قائم و شب‌دار، با در نظر گرفتن مدل‌های عرضه شده در بخش ۲-۲ و ۲-۳، در حالت اول یک توده رسانای قائم به ابعاد $30 \times 10 \times 10$ متر در عمق ۵ متر در نظر گرفته شده است. مقاومت ویژه الکتریکی محیط (بلوک بزرگ) و توده رسانا به ترتیب ۴۰۰ و ۲۰ اهم متر است. در حالت دوم با ثابت نگه داشتن همه شرایط، توده رسانای شب‌داری به ابعاد مسطحاتی $10 \times 10 \times 10$ متر و با شب ۴۵ درجه تا عمق ۳۵ متر در نظر گرفته شده است (شکل ۱۱).

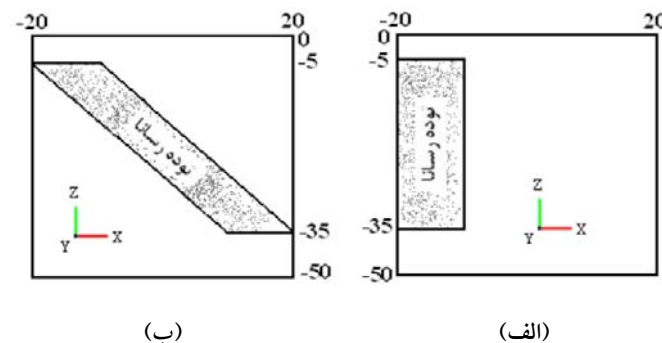
مطابق شکل ۱۲، به نظر می‌رسد روش مقاومت ویژه الکتریکی و روش قطبش القایی در حوزه بسامد در آرایش الکترودی مستطیل، قادر به تعیین توده رسانای شب‌دار و جهت شب آن است.

آرایش الکترودی مستطیل برای هر دو روش مقاومت ویژه الکتریکی و فُطبش القایی در حوزه بسامد در صورتی در بهترین حالت از لحاظ قدرت تفکیک و شناسایی است که اندازه فاصله الکترودهای پتانسیل کمترین مقدار ممکن را با توجه به شرایط برداشت و دانسته‌های مربوط به توده زیرسطحی داشته باشد. در این صورت احتمال از دست دادن بی‌هنگاری‌های کوچک کاهش می‌یابد.

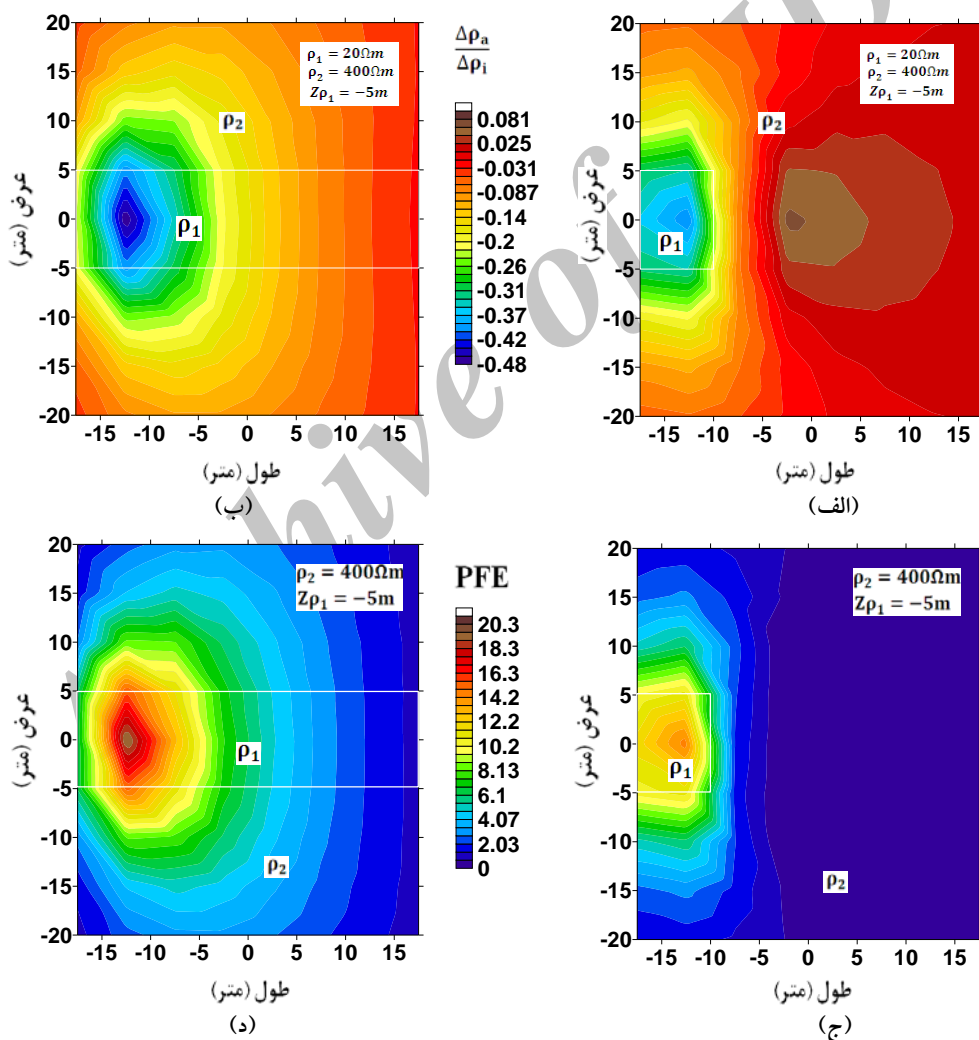
متر در مرکز آرایش الکترودی مستطیل در نظر گرفته شده است. مقاومت ویژه الکتریکی محیط (بلوک بزرگ) و توده رسانا به ترتیب 400 و 20 اهمتر است. مطابق شکل ۱۳، به نظر می‌رسد که افزایش فاصله الکترودهای پتانسیل از 5 متر به 10 متر، تغییرات کمی را در مقدار مقاومت ویژه ظاهری و درصد اثر بسامد نشان می‌دهد. همچنین، با افزایش فاصله الکترودهای پتانسیل، بی‌هنگاری‌های کوچک قابل شناسایی نیستند. بنابراین،



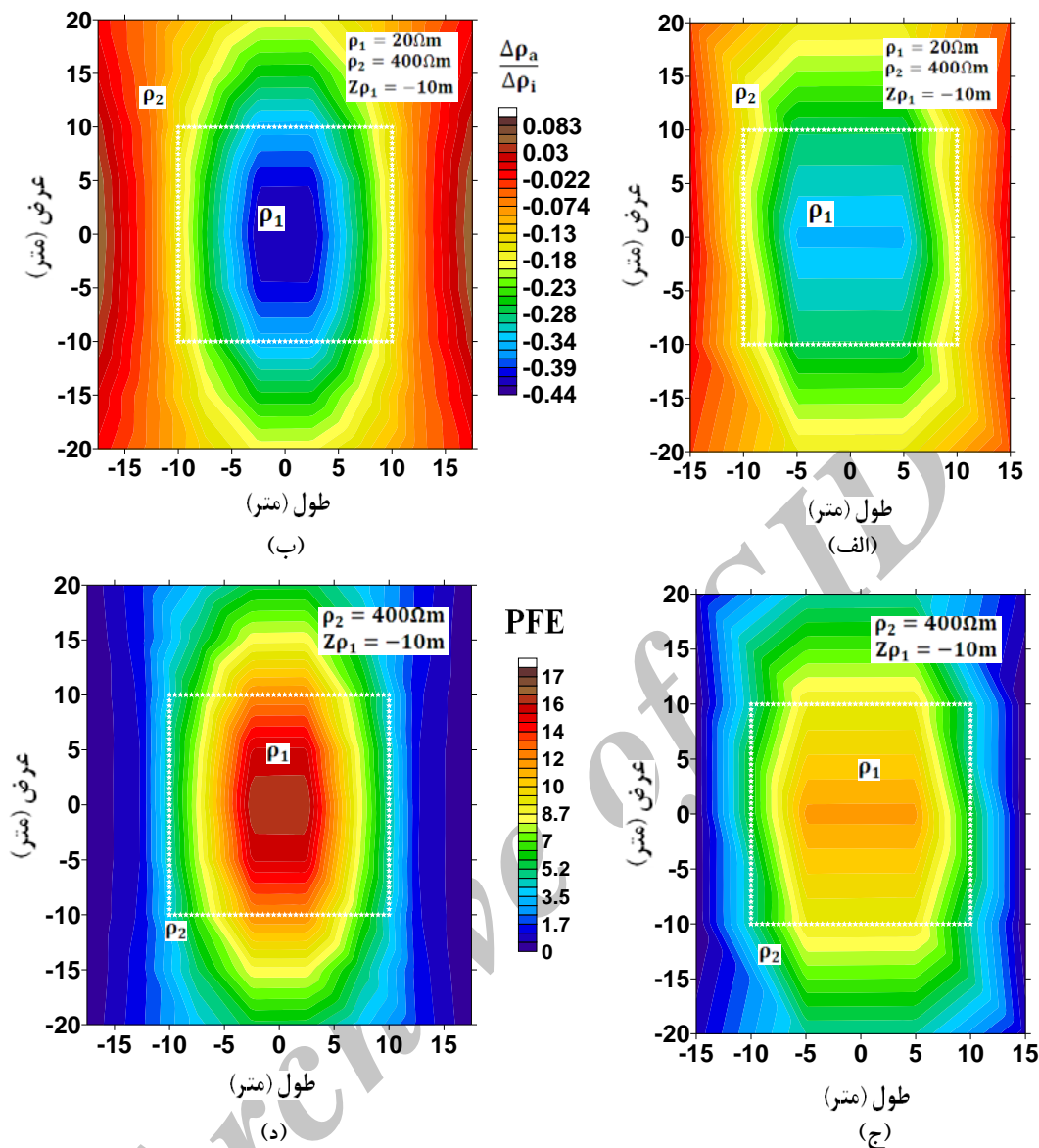
شکل ۱۰. نقشه‌های حساسیت الکتریکی و درصد اثر بسامد. (الف) و (ج) توده رسانا با ابعاد $10 \times 20 \times 10$ متر در عمق 10 متری است، کشیدگی توده در راستای شمال-جنوب. (ب) و (د) توده رسانا با ابعاد $10 \times 10 \times 20$ متر در عمق 10 متری است، راستای کشیدگی توده شرقی- غربی است. پیکان روی نقشه، جهت کشیدگی توده رسانا را نشان می‌دهد.



شکل ۱۱. (الف) مقطع نشان‌دهنده موقعیت توده رسانای قائم به ابعاد $30 \times 10 \times 10$ متر واقع در عمق ۵ متری. (ب) توده رسانای شبدار با ابعاد مسطحه‌ای 10×10 متر و با شیب ۴۵ درجه تا عمق ۳۵ متری. مقاومت ویژه الکتریکی محیط (بلوک بزرگ) و توده رسانا به ترتیب ۴۰۰ و ۲۰ اهمتر است.



شکل ۱۲. (الف) و (ج) نقشه‌های حساسیت الکتریکی و درصد اثر بسامد توده رسانای قائم آورده شده در شکل (۱۱-الف). (ب) و (د) نقشه‌های حساسیت الکتریکی و درصد اثر بسامد توده رسانای شبیب دار آورده شده در شکل (۱۱-ب). توده ایجاد‌کننده بی‌هنجاری دارای پارامترهای $\tau = 0.381$, $c = 0.3$, $m = 0.7$ است.



شکل ۱۳. توده رسانا با ابعاد $20 \times 20 \times 20$ متری واقع در عمق ۱۰ متری نقشه حساسیت الکتریکی برای آرایش الکترودی مستطیلی با فاصله الکترودهای پتانسیل ۵ متری، (ب) ۱۰ متری و نقشه درصد اثر بسامد برای آرایش الکترودی مستطیلی با فاصله الکترودهای پتانسیل ۱۰ متری و (د) ۵ متری.

توجه به حساسیت کم آرایش الکترودی مستطیل نسبت به تغیرات مشخصات توده زیرسطحی، این آرایش الکترودی زمانی می‌تواند توده را شناسایی کند که ابعاد بزرگ، عمق کم و رسانایی زیادی نسبت به محیط داشته باشد.

۲. آرایش الکترودی مستطیل قادر به تعیین ضخامت توده رسانا در جهت قائم نیست.

۵ نتیجه‌گیری

نتایج حاصل از مدل‌سازی مقاومت ویژه الکتریکی و قطبش القایی در حوزه بسامد و معکوس‌سازی سه‌بعدی داده‌های مقاومت ویژه الکتریکی برای آرایش الکترودی مستطیل بدین صورت است:

- آرایش الکترودی مستطیل برای توده‌هایی با ابعاد کوچک و عمق زیاد حساسیت کمی دارد. بنابراین، با

منابع

نوروزی، غ. و غلامی، س.، ۱۳۸۴، تحلیل و مدل‌سازی
داده‌های ژئوفیزیکی (IP) و (RS) محل ان迪س معدنی
مس سوناجیل، نشریه دانشکده فنی، (۲)، ۳۹، ۲۵۳-۲۶۵.

Bakkali, S., and Amrani, M., 2005, Image processing optimization of 2D resistivity data for modelling anomalous zones of phosphate: Universidad Nacional Mayor de San Marcos, **8**(16), 68-75.

Cole, K. S., and Cole, R. H., 1941, Dispersion and adsorption in dielectrics. I. Alternating current characteristics: *J. Chem. Phys.*, **9**, 341-351.

COMSOLAB, 2004, FEMLAB Reference Manual, version 3.5: COMSOLAB.

De Lima, O. A. L., and Sharma, M. M., 1992, A generalized Maxwell-Wagner theory for membrane polarization in shaly sands: *Geophysics*, **57**(3), 431-440.

Ha, T., Pyun, S., and Shin, C., 2006, Efficient electric resistivity inversion using adjoint state of mixed finite-element method for Poisson's equation: *Journal of Computational Physics*, **214**, 171-186.

Jackson, J. D., 1998, Classical Electrodynamics (3rd ed.): Wiley. ISBN 0-471-30932-X.

Lesmes, D. P., and Morgan, F. D., 2001, Dielectric spectroscopy of sedimentary rocks: *Journal of Geophysical Research*, **106**, 13392-13346.

Marescot, L., Lopes, S. P., Rigobert, S., and Green, A. G., 2008, Nonlinear inversion of geoelectric data acquired across 3D objects using a finite-element approach: *Geophysics*, **73**, F121-F133.

Pelton, W. H., Ward, S. H., Hallföld, P. G., Sill, W. R., and Nelson, P. H., 1978, Mineral discrimination and removal of inductive coupling with multifrequency IP: *Geophysics*, **43**, 588-609.

Sasaki, Y., 1994, 3-D resistivity inversion using the finite-element method: *Geophysics*, **59**(11), 1839-1848.

Vanhala, H., 1997, Laboratory and field studies of environmental and exploration applications of the spectral induced polarization (SIP) method: PhD. Dissertation, Helsinki University of Technology (ESPOO, Finland).

Vacquier, V., Holmes, C. R., Klitzmger, P., and Lavergne, M., 1957, Prospecting for groundwater by induced electrical polarization: *Geophysics*, **22**, 660-687.

۳. تغییر موقعیت توده رسانا نسبت به شبکه برداشت آرایش مستطیل، تغییر محسوسی در قدرت تفکیک و شناسایی توده رسانا ایجاد نمی‌کند. به عبارتی قدرت تفکیک و شناسایی در همه نقاط آرایش الکترودی مستطیل تقریباً یکسان است.

۴. آرایش الکترودی مستطیل قادر است توده رسانای شیب‌دار را تشخیص دهد و جهت شیب آن را تعیین کند.

۵. آرایش الکترودی مستطیل قادر به تشخیص جهت قرارگیری توده رسانا نیست، مگر آنکه ابعاد توده رسانا بسیار بزرگ باشد و یا توده رسانا در عمق کمی از زمین قرار گرفته باشد.

۶. در آرایش الکترودی مستطیل اندازه فاصله الکترودهای پتانسیل باید کمترین مقدار ممکن را با توجه به شرایط برداشت و دانسته‌های مربوط به توده زیرسطحی داشته باشد. در این صورت آرایش الکترودی مستطیل در بهترین حالت، از لحاظ قدرت تفکیک و شناسایی است و همچنین، احتمال از دست دادن بی‌亨جارتی‌های کوچک کاهش می‌یابد.

۷. به طور کلی، روش مقاومت ویژه الکتریکی نتایج بهتری نسبت به قطبش القایی در حوزه بسامد به دست می‌دهد.

۸. در مقایسه با آرایش‌های الکترودی دیگر مانند دوقطبی-دوقطبی، آرایش الکترودی مستطیل به تنها نمی‌تواند اطلاعات مناسبی از توده‌های زیرسطحی به دست دهد.

با استفاده از مدل‌سازی مستقیم مقاومت ویژه و قطبش القایی، صورت گرفته در این پژوهش، می‌توان مدل‌سازی معکوس را طراحی کرد. در این صورت تفسیر کمی داده‌های مقاومت ویژه و قطبش القایی با آرایه مستطیلی امکان‌پذیر می‌شود. همچنین، در ادامه پژوهش حاضر، می‌توان با استفاده از معادلات فوریه، به مدل‌سازی قطبش القایی در حوزه زمان پرداخت.